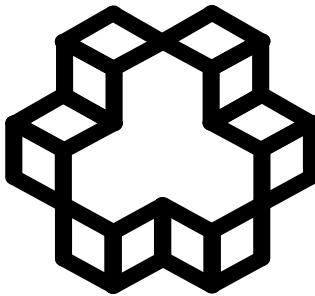


بِسْمِ اللَّهِ الرَّحْمَنِ الرَّحِيمِ



تأسیس ۱۳۰۷

دانشگاه صنعتی خواجه نصیرالدین طوسی

دانشکده مهندسی برق

پایان نامه کارشناسی ارشد مهندسی برق - ماشین های
الکتریکی و الکترونیک قدرت

عنوان:

طراحی و شبیه سازی موتور رلوکتانسی خطی سه فاز با مغناطیس
 دائم

استاد راهنما: دکتر محمد اردبیلی

استاد مشاور: دکتر کریم عباس زاده

دانشجو: سعید دارابی

شماره پایان نامه:

نیمسال اول ۱۳۹۰

چکیده:

موتور سوئیچ رلوکتانسی خطی را می توان براساس مسیر عبوری شار سیم پیچی، شکل قسمت متحرک و یک طرفه یا دو طرفه بودنش تقسیم بندی کرد. اما براساس مسیر شار عبوری از سیم پیچی می توان موتور سوئیچ رلوکتانسی خطی را به دو دسته ۱- موتور سوئیچ رلوکتانسی خطی با شار عرضی ۲- موتور سوئیچ رلوکتانسی خطی با شار طولی تقسیم بندی کرد. پس از بررسی اصول موتور سوئیچ رلوکتانسی خطی طراحی موتور سوئیچ رلوکتانسی خطی با شار عرضی مطرح می گردد. سپس طراحی این موتور با کمک روش اجزاء محدود انجام می گردد. در ادامه برای بهبود عملکرد موتور، ساختارهای با مغناطیس دائم طراحی می شود. با مقایسه ی نیرو دندانه ای و نیرو محرکه ی این ساختارها، بهترین ساختار انتخاب می گردد.

در ادامه برای مقایسه ی بهتر ساختار مغناطیس دائم با ساختار مرسوم، این دو ساختار به صورت موتور سه فاز طراحی می شوند و عملکرد دینامیک آنها با هم مقایسه می گردد. نتایج بهبود ۵٪ تا ۱۱٪ در راندمان موتور مغناطیس دائم سه فاز جدید نسبت به موتور سه فاز مرسوم را نشان می دهد.

بررسی اضافه کردن مغناطیس دائم بر عملکرد موتور با شار طولی نیز بهبود عملکرد این موتور را نشان می دهد.

فهرست

| صفحه | عنوان |
|--|---|
| فصل اول: اصول موتورهای سوئیچ رلوکتانسی خطی | |
| ۲ | ۱-۱ مقدمه |
| ۲ | ۱-۲ نیروها در یک موتور رلوکتانسی خطی |
| ۱۰ | ۱-۳ انواع موتورهای سوئیچ رلوکتانسی و ویژگی های آنها |
| فصل دوم : ساختار موتور سوئیچ رلوکتانسی خطی بدون مغناطیس دائم و با وجود آن | |
| ۱۵ | ۲-۱ ساختار موتور |
| ۱۵ | ۲-۱-۱ موتور رلوکتانسی تک فاز بدون مغناطیس دائم |
| ۱۸ | ۲-۱-۲ موتور رلوکتانسی تک فاز با مغناطیس دائم |
| ۲۰ | ۲-۲ تغذیه ی DC |
| فصل سوم : طراحی موتور سوئیچ رلوکتانسی خطی با شار عرضی | |
| ۲۳ | ۳-۱ ابعاد موتور(ساختار U۱) |
| ۲۴ | ۳-۲ تعیین تعداد دور سیم پیچی |
| ۲۵ | ۳-۳ تعیین مقاومت سیم پیچی |
| ۲۶ | ۳-۴ جرم اولیه ، ثانویه و سیم پیچی |
| ۲۶ | ۳-۵ محاسبه اندوکتانس سیم پیچی اولیه |
| ۳۴ | ۳-۶ عملکرد یک فاز موتور سوئیچ رلوکتانسی خطی |
| ۳۵ | ۳-۷ نتیجه گیری |
| فصل چهارم : افزودن مغناطیس دائم به موتور سوئیچ رلوکتانسی خطی با شار عرضی | |
| ۳۸ | ۴-۱ مقدمه |
| ۴۱ | ۴-۲ ساختار بدون PM (ساختار U۱) |
| ۴۳ | ۴-۳ ساختارهای PM U۲ تا U۱۰ |
| ۵۰ | ۴-۴ نتیجه گیری |
| فصل پنجم : عملکرد موتور سوئیچ رلوکتانسی خطی سه فاز با شار عرضی | |
| ۵۲ | ۵-۱ مقدمه |
| ۵۲ | ۵-۲ مدل الکتریکی موتور سوئیچ رلوکتانسی خطی |
| ۵۵ | ۵-۳ معادلات مکانیکی موتور سوئیچ رلوکتانسی خطی |
| ۵۶ | ۵-۴ نتایج شبیه سازی |
| ۵۸ | ۵-۴-۱ $F_L = 6 N$ بار |

| | |
|----|--------------------------------|
| ۶۰ | $F_L = 12 \text{ N}$ بار ۵-۴-۲ |
| ۶۲ | $F_L = 18 \text{ N}$ بار ۵-۴-۳ |
| ۶۴ | $F_L = 24 \text{ N}$ بار ۵-۴-۴ |
| ۶۶ | $F_L = 30 \text{ N}$ بار ۵-۴-۵ |
| ۶۸ | $F_L = 36 \text{ N}$ بار ۵-۴-۶ |
| ۷۰ | نتیجه گیری ۵-۵ |

فصل ششم : شبیه سازی و مدلسازی موتور سوئیچ رلوکتانسی خطی سه فاز با شار طولی

| | |
|----|---|
| ۷۲ | ۶-۱ مقدمه |
| ۷۲ | ۶-۲ مشخصات موتور |
| ۷۴ | ۶-۳ مدل الکتریکی موتور سوئیچ رلوکتانسی خطی |
| ۷۵ | ۶-۴ معادلات مکانیکی موتور سوئیچ رلوکتانسی خطی |
| ۷۶ | ۶-۵ محاسبه‌ی پارامترهای مورد نیاز برای شبیه سازی سازی دینامیکی عملکرد موتور با استفاده از روش اجزاء محدود |
| ۷۹ | ۶-۶ شبیه سازی دینامیک با استفاده از پارامترهای روش‌های اجزاء محدود دو بعدی و سه بعدی |
| ۸۳ | ۶-۷ ساختار با مغناطیس دائم |
| ۸۴ | ۶-۸ مدل الکتریکی ساختار پیشنهادی |
| ۸۵ | ۶-۹ معادلات مکانیکی موتور سوئیچ رلوکتانسی خطی |
| ۸۶ | ۶-۱۰ نتایج شبیه سازی |
| ۹۰ | ۶-۱۱ نتیجه گیری |

فصل هفتم : نتیجه گیری و پیشنهادات

| | |
|-----|--|
| ۹۲ | ۷-۱ نتیجه گیری |
| ۹۲ | ۷-۲ پیشنهادات |
| ۹۴ | ضمیمه (توالی، ترتیب سوئیچینگ و توزیع چگالی شار مغناطیسی) |
| ۱۰۰ | مراجع |

فصل اول: اصول موتورهای سوئیچ رلوکتانسی خطی

۱-۱ مقدمه

موتور های الکتریکی خطی تجهیزات الکترومکانیکی هستند که حرکت را در راستای طولی توسعه می دهند. این موتورها نیاز به استفاده از مکانیزمی برای تبدیل حرکت دور به خطی ندارند. موتورهای خطی تاریخچه‌ی یکسانی با موتورهای دور دارند. نخستین موتور الکتریکی خطی در سال ۱۸۸۳ اختراع شد. اما فاصله‌ی هوایی بزرگ و راندمان پایین مانع از استفاده‌ی وسیع این موتورها شد. بر خلاف موتورهای دور موتورهای خطی نقطه‌ی ابتدا و انتهای حرکت دارند.

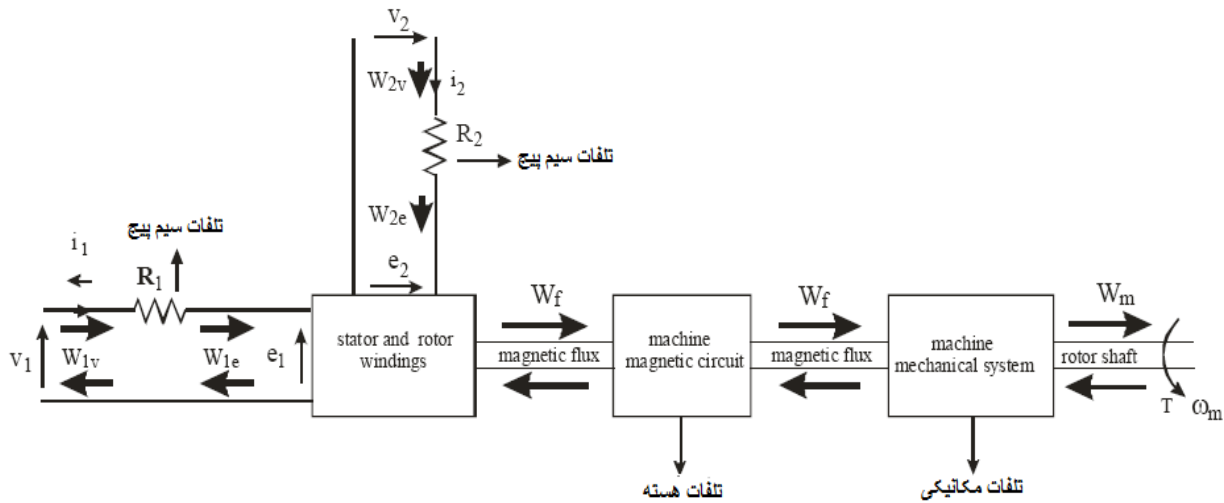
موتورهای سوئیچ رلوکتانسی خطی^۱ (LSRM) نسبت به موتورهای القایی خطی یا سنکرون خطی به دلیل حذف سیم پیچی در ساختار اولیه یا ثانویه مزیت دارند. مواردی از مزایای LSRM عبارتند از :

- حذف سیم پیچی در اولیه یا ثانویه
- عدم نیاز به چرخ دنده‌های مکانیکی
- سادگی در ساخت و نگهداری به دلیل اینکه دارای سیم پیچی مرکز هستند
- ساختار ثانویه در صورت قرار گرفتن سیم پیچی بر روی هسته‌ی اولیه دیگر نیاز به سیم پیچی ندارد. در این صورت ساختار ثانویه اقتصادی تر خواهد بود.
- عدم تولید گرما توسط ثانویه حین عملکرد موتور به این دلیل که در هر لحظه یک قسمت ثانویه در مسیر شار تولید شده توسط سیم پیچی اولیه توسط هر فاز قرار دارد [۱].

۱-۲ نیروها در یک موتور رلوکتانسی خطی

رونده تبدیل انرژی در هر مبدل الکترومکانیکی مطابق شکل ۱-۱ است. در موتورهای الکتریکی انرژی الکتریکی به مکانیکی تبدیل می شود. در موتور رلوکتانسی خطی انرژی الکتریکی W_e از طریق ترمینالهای سیم پیچی اولیه یا ثانویه به موتور منتقل می شود. این انرژی برابر مجموع انرژی میدان مغناطیسی W_f و انرژی مکانیکی W_m است.

^۱ Linear Switched Reluctance Motor (LSRM)



شکل ۱-۱ دیاگرام تبدیل انرژی الکترومکانیکی با توان تلف شده

در یک آهنربای الکتریکی میدان مغناطیسی به وسیله‌ی جریان الکتریکی تولید می‌شود. ساختار یک سیستم الکترومغناطیسی مطابق شکل ۱-۲ برای محاسبه‌ی انرژی میدان مغناطیسی ذخیره شده در نظر گرفته شده است. ساختار شامل دو قسمت است ۱- قسمت اولیه که ساکن است ۲- قسمت ثانویه که متحرک است و سیم پیچی ندارد.

ولتاژ در هر لحظه برای سیستم شکل ۱-۲ براساس قانون فارادی در سیم پیچی اولیه برابر است با :

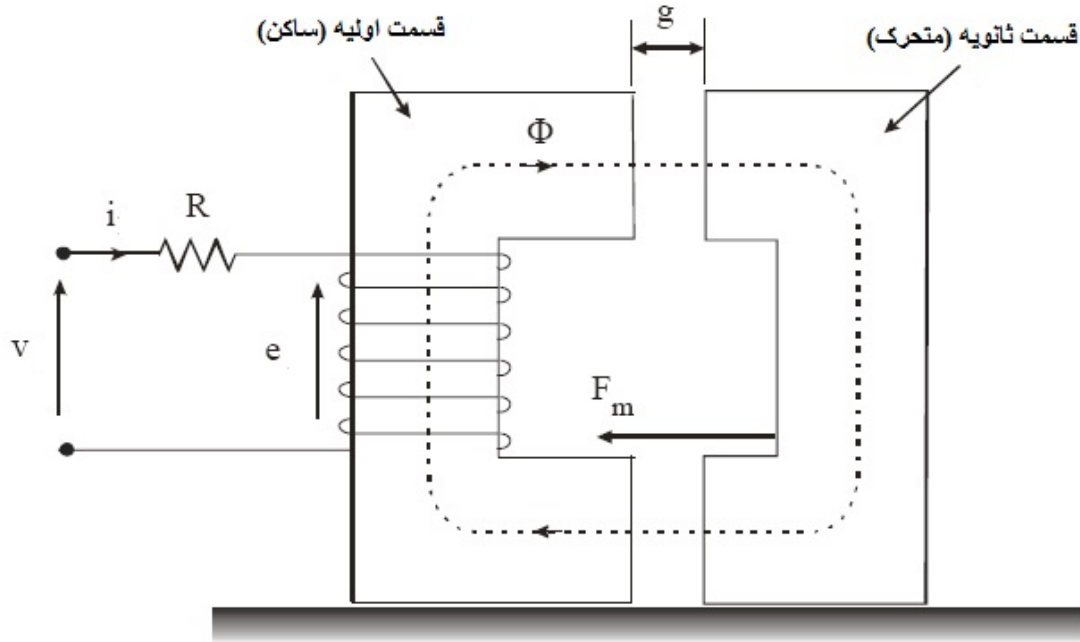
$$v = iR + \frac{d\lambda}{dt} \quad (1-1)$$

ولتاژ ترمینال v =

جریان سیم پیچی i =

مقاومت سیم پیچی R =

شار پیوندی به وسیله‌ی سیم پیچی λ =



شکل ۱-۲ یک سیستم الکترومغناطیسی

برای سیستم الکترومغناطیسی شکل ۱-۲ می توان رابطه ی (۱-۱) را به صورت زیر نوشت :

$$v = iR + \frac{\partial \lambda}{\partial i} \cdot \frac{di}{dt} + \frac{\partial \lambda}{\partial x} \cdot \frac{dx}{dt} \quad (1-2)$$

که x راستای حرکت قسمت متحرک است.

اگر طرفین رابطه ی (۱-۱) را در i ضرب کنیم داریم :

$$vi = i^2 R + i \frac{d\lambda}{dt} \quad (1-3)$$

در رابطه ی بالا عبارت سمت چپ توان الکتریکی ورودی P_{in} ، اولین عبارت در سمت راست تلفات اهمی و عبارت دوم در سمت راست توان ترمینالهای سیم پیچی که برابر مجموع توان مکانیکی و هر نوع توان ذخیره شده در سیستم است. رابطه ی توان دو سر سیم پیچی در میدان مغناطیسی خطی را می توان به صورت زیر نوشت.

$$P_e = \frac{dW_e}{dt} = L \frac{di}{dt} i \quad (1-4)$$

که W_e انرژی تحویلی به سیم پیچی است و برابر با مجموع انرژی ذخیره شده در سیم پیچی W_f و انرژی تبدیلی به کار مکانیکی W_m است. در نتیجه می‌توان نوشت :

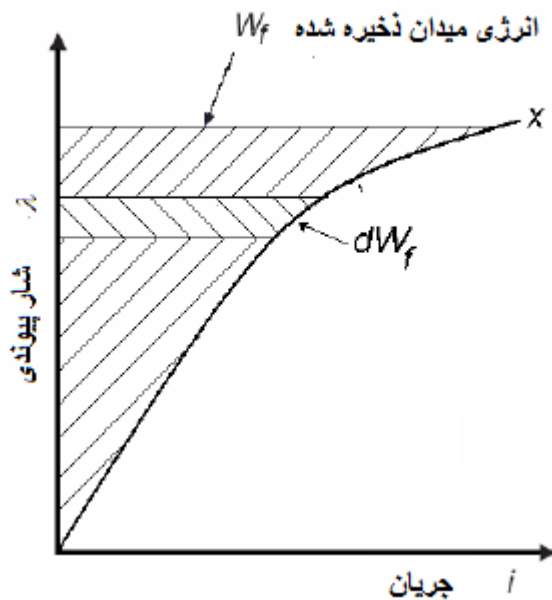
$$W_e = W_f + W_m \quad (1-5)$$

در شکل ۱-۳ انرژی میدان مغناطیسی توسط رابطه‌ی زیر به دست می‌آید :

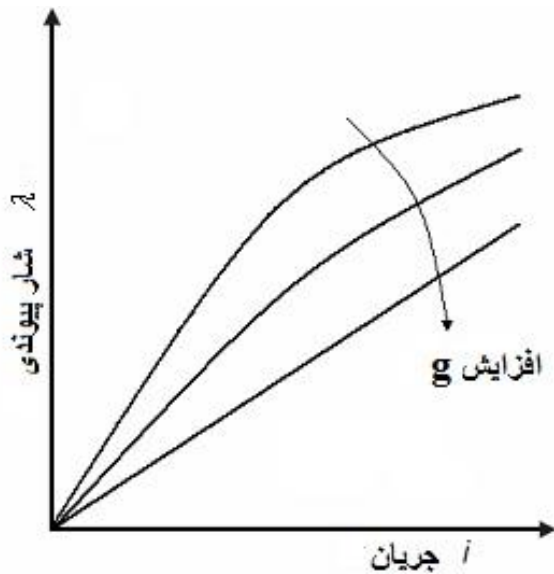
$$W_f = \int_{\cdot}^{\lambda} i d\lambda \quad (1-6)$$

انرژی میدان با توجه به تغییر شار پیوندی λ نسبت به جریان در شکل ۱-۳ نشان داده شده است. با افزایش فاصله‌ی هوایی سیستم الکترومغناطیسی شکل ۱-۲، منحنی شکل ۱-۳ مطابق شکل ۱-۴ تغییر می‌کند. این بدین معنا است که برای ادامه یافتن شار مغناطیسی بایستی جریان بیشتری در سیم پیچی جاری باشد و در نتیجه انرژی بیشتری در مدار مغناطیسی ذخیره خواهد شد.

اگر فاصله‌ی هوایی افزایش یابد و حجم هسته‌ی سیستم الکترومغناطیسی تغییر نکند، انرژی میدان در فاصله‌ی هوایی افزایش می‌یابد. شکل ۱-۴ تغییرات منحنی $i - \lambda$ با تغییر فاصله هوایی را نشان می‌دهد.



شکل ۱-۳ انرژی میدان ذخیره شده با تغییرات شار پیوندی

شکل ۱-۴ تغییرات منحنی $i - \lambda$ با تغییر فاصله هوایی

انرژی ذخیره شده در میدان مغناطیسی با فاصله هوایی g با صرف نظر کردن از انرژی ذخیره شده در هسته را می توان بر حسب B_g به صورت زیر نوشت.

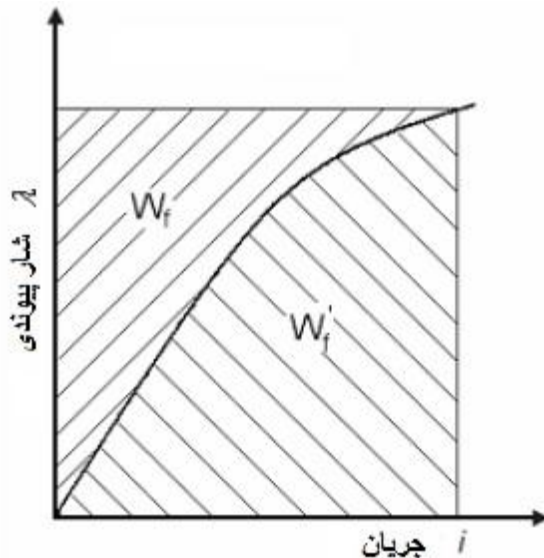
$$W_f = \int \frac{B_g}{\mu_0} dB_g \cdot V_g = \frac{B_g^2}{2\mu_0} \cdot V_g \quad (1-7)$$

از رابطه‌ی بالا پیداست که انرژی میدان با چگالی شار میدان در فاصله‌ی هوایی و حجم V_g نسبت مستقیم دارد. سطح زیر منحنی شکل ۱-۵ به عنوان شبه انرژی W'_f تعریف می‌شود. شبه انرژی را می‌توان به صورت رابطه‌ی زیر نوشت :

$$W'_f = \int_{\text{ب}}^{\text{i}} \lambda di \quad (1-8)$$

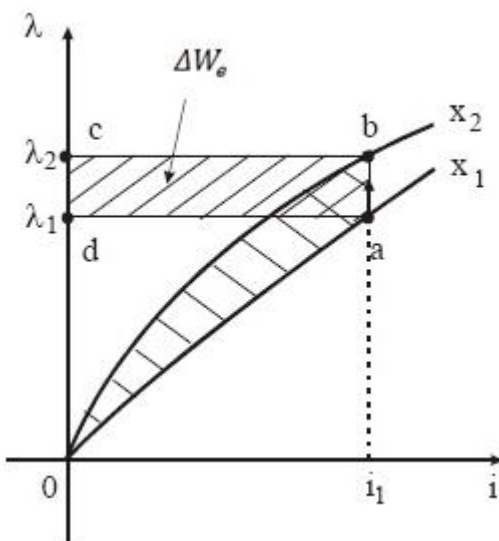
شبه انرژی توجیه فیزیکی ندارد و تنها به تعیین نیروی مغناطیسی کمک می‌کند.

اگر منحنی $i - \lambda$ غیرخطی باشد $W'_f > W_f$ اما اگر منحنی $i - \lambda$ خطی باشد $W'_f = W_f$.



شکل ۱-۵ انرژی میدان W_f و شبه انرژی W'_f

در سیستم الکترومغناطیسی شکل ۱-۲ ، اگر قسمت ثانویه به آهستگی حرکت کند جریان $i = V/R$ در هر دو حالت در حالت ماندگار ثابت خواهد ماند چونکه مقاومت سیم پیچی تغییر نمی کند و ولتاژ نیز ثابت نگه داشته شده است.



شکل ۱-۶ تغییرات انرژی الکتریکی تحت جریان ثابت

با توجه به شکل ۱-۶ نقطه i کار از نقطه i به سمت b جابجا می شود. حین جابجایی افزایش انرژی الکتریکی که به سیستم داده می شود برابر است با :

$$\Delta W_e = \int e idt = \int_{\lambda_1}^{\lambda_2} i d\lambda = \text{area}(abcd) \quad (1-9)$$

تغییرات انرژی میدان تحت جریان ثابت برابر است با :

$$\Delta W_f = \text{area}(Obc - Oad) \quad (1-10)$$

و تغییرات انرژی مکانیکی برابر است با :

$$\Delta W_m = \Delta W_e - \Delta W_f = \text{area}(abcd) + \text{area}(Oad) - \text{area}(Obc) = \text{area}(Oab) \quad (1-11)$$

که رابطه $(1-11)$ معادل کار مکانیکی انجام شده در جابجایی قسمت ثانویه است و در شکل ۱-۶ نشان داده شده است . سطح Oab برابر تغییرات شبیه انرژی است.

$$\Delta W_m = \Delta W_f \quad (1-12)$$

رابطه ΔW_m و f_m به صورت زیر است :

$$\Delta W_m = f_m dx \quad (1-13)$$

نیروی مکانیکی f_m که باعث جابجایی می گردد باتوجه به روابط گفته شده برابر است با :

$$f_m = \frac{\partial W_f^{(i,x)}}{\partial x} \mid_{i=const} \quad (1-14)$$

شار پیوندی در یک سیستم الکترومغناطیسی خطی را می توان به صورت زیر نوشت:

$$\lambda = L(x, i)i \quad (1-15)$$

با توجه به شبیه انرژی میدان از رابطه $(1-8)$ و قرار دادن λ از رابطه $(1-15)$ در آن شبیه انرژی به صورت زیر به دست می آید :

$$W_f' = \int_{\cdot}^i L(x, i) i di = \frac{1}{2} L(x) i^2 \quad (1-16)$$

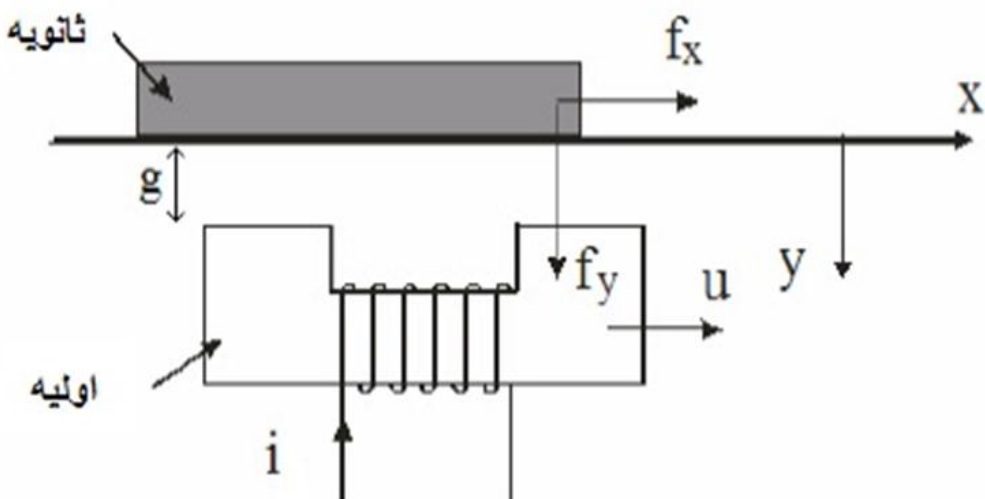
نیروی مکانیکی که به ثانویه اعمال می شود ، با استفاده از روابط $(1-14)$ و $(1-16)$ به صورت زیر به دست می آید :

$$f_m = \frac{\partial}{\partial x} \left(\frac{1}{2} L(x) i^2 \right) = \frac{1}{2} i^2 \frac{dL(x)}{dx} \quad |_{i=const} \quad (1-17)$$

برای یک سیستم خطی انرژی میدان با شبه انرژی برابر است پس :

$$W_f = W'_f = \frac{1}{2} L(x) i^2 \quad (1-18)$$

اگر قسمت اولیه‌ی یک موتور رلوکتانسی خطی مطابق شکل ۱-۷ باشد، می‌توان از رابطه‌ی (۱-۱۷) برای محاسبه‌ی نیروی خطی f_x اعمالی به ثانویه استفاده کرد. برای محاسبه‌ی این نیرو به جریان سیم پیچی اولیه و اندوکتانس $L(x)$ به صورت تابعی از موقعیت نیاز است.



شکل ۱-۷ نیروهای f_x و f_y تولید شده در موتور رلوکتانسی خطی

نیروی دیگری نیز در موتور رلوکتانسی خطی شکل ۱-۷ وجود دارد، نیروی جذب کننده‌ی f_y ، که می‌توان این نیرو را بر حسب چگالی شار مغناطیسی در فاصله‌ی هوایی B_g بیان کرد. اگر از شدت میدان مغناطیسی در هسته H_c صرف نظر شود (به دلیل نفوذ پذیری مغناطیسی μ_c بالا در هسته)، در نتیجه برای سیستم الکترومغناطیسی شکل ۱-۷ ارتباط بین جریان، تعداد دور سیم پیچی اولیه و شدت میدان در فاصله‌ی هوایی در حالت هم راستایی به صورت زیر بیان می‌شود :

$$Ni = 2gH_g = 2g \frac{B_g}{\mu_0} \quad (1-19)$$

بنابراین :

$$i = \frac{B_g}{N\mu_0} \quad (1-20)$$

اندوکتانس سیم پیچی به مقاومت مغناطیسی مدار مغناطیسی وابسته است و با صرف نظر کردن از مقاومت مغناطیسی هسته برابر است با :

$$L = \frac{N^2 \mu_0 A_g}{2g} \quad (1-21)$$

که A_g مساحت موثر فاصله‌ی هوایی است.

از رابطه‌ی (1-16)، (1-18) و (1-20) می‌توان شبه انرژی میدان را به صورت زیر به دست آورد :

$$W_f' = 2gA_g \frac{B_g^2}{2\mu_0} \quad (1-22)$$

رابطه‌ی بالا را می‌توان از انرژی میدان نیز به دست آورد. برای مدار مغناطیسی خطی $W_f' = W_f$ و اگر انرژی ذخیره شده در هسته قابل صرف نظر کردن باشد :

$$W_f' = V_g \frac{B_g^2}{2\mu_0} = 2gA_g \frac{B_g^2}{2\mu_0} \quad (1-23)$$

از روابط (1-14) و (1-23) نیروی جذب کننده‌ی f_y برابر خواهد شد با :

$$f_y = \frac{\partial}{\partial g} \left(2gA_g \frac{B_g^2}{2\mu_0} \right) = 2A_g \frac{B_g^2}{\mu_0} \quad (1-24)$$

با توجه به این رابطه نیروی جذب کننده به مربع چگالی میدان مغناطیسی در فاصله‌ی هوایی وابسته است.

۱-۳ انواع موتورهای سوئیچ رلوکتانسی و ویژگی‌های آنها

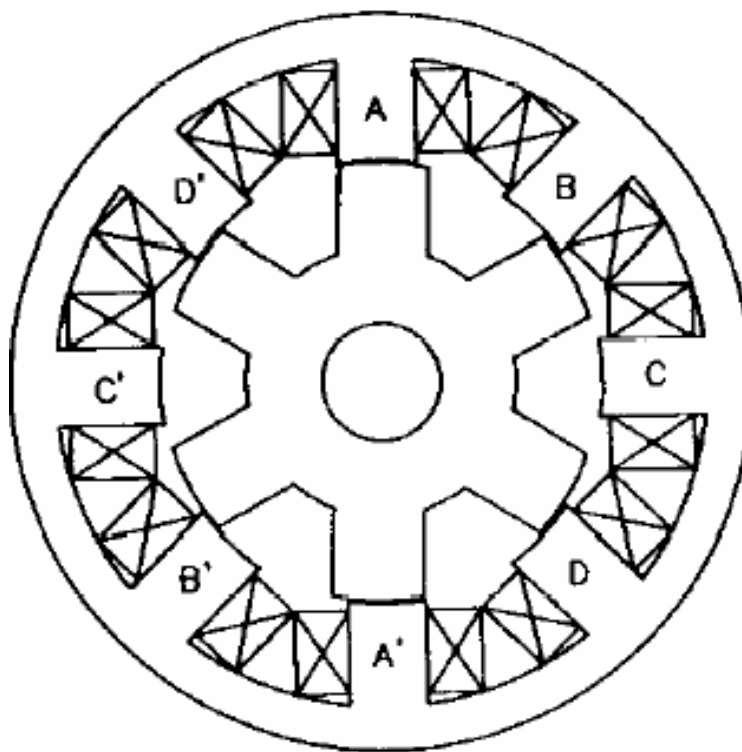
موتورهای سوئیچ رلوکتانسی ممکن است ، باتوجه به نوع حرکت، جهت مسیر شار و مبدل‌های الکترونیک قادر به کار رفته در آنها دسته بندی شوند. براساس نوع حرکت به دو دسته‌ی زیر تقسیم بندی می‌شوند :

۱ - موتور سوئیچ رلوکتانسی دوار^۱ (RSRM)

^۱ Rotary Switched Reluctance Motor (RSRM)

۲- موتور سوئیچ رلوکتانسی خطی (LSRM)

شمای دو بعدی یک موتور سوئیچ رلوکتانسی دوار ۴ فاز در شکل ۱-۸ نشان داده شده است. سیم پیچی بر روی استاتور قرار دارد و هسته‌ی رotor سیم پیچی ندارد.

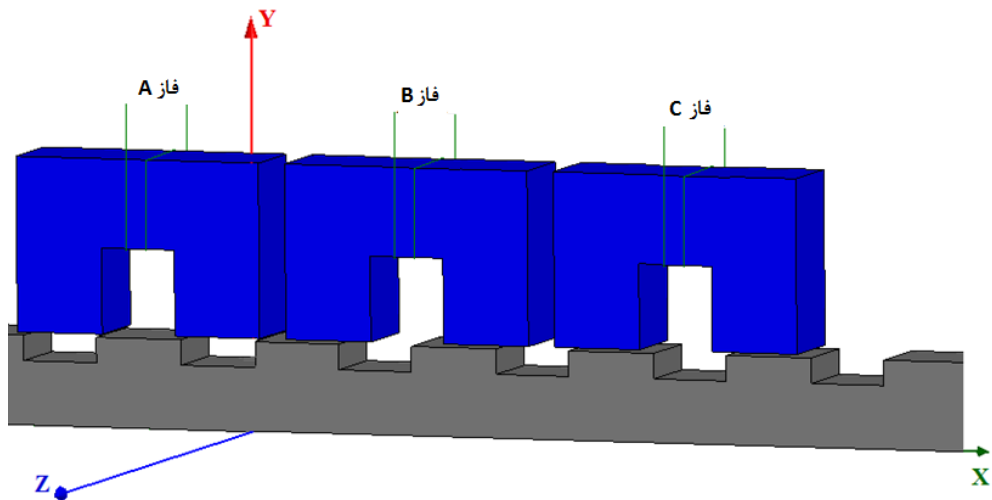


شکل ۱-۸ موتور سوئیچ رلوکتانسی دوار [۲]

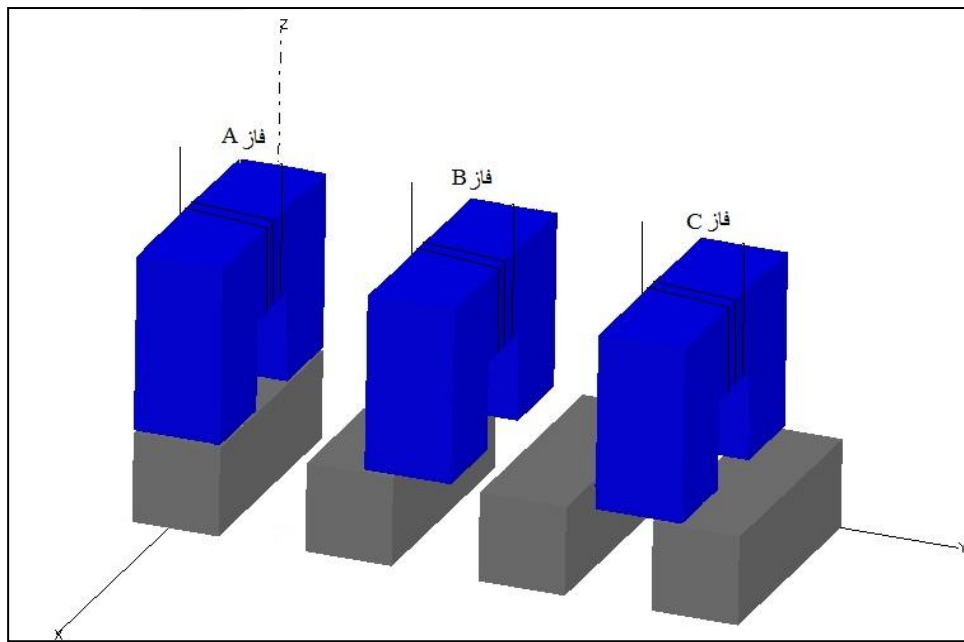
بهترین دسته بندی موتورهای سوئیچ رلوکتانسی خطی، دسته بندی آنها مطابق با مسیر شارعبوری ناشی از سیم پیچی است. بر این اساس می‌توان این موتورها را به دو دسته تقسیم بندی کرد : ۱- موتور سوئیچ رلوکتانسی خطی با شار طولی^۱ ۲- موتور سوئیچ رلوکتانسی خطی با شار عرضی^۲ [۳], [۴], [۲]. موتورهای سوئیچ رلوکتانسی خطی سه فاز با شار طولی و عرضی به ترتیب در شکل‌های ۱-۹ و ۱-۱۰ نشان داده شده اند. مسیر شار در هسته‌ی اولیه‌ی موتور سوئیچ رلوکتانسی خطی با شار طولی و عرضی به ترتیب در راستای حرکت موتور و عمود بر راستای حرکت موتور هستند.

^۱ Longitudinal flux

^۲ Transverse flux



شکل ۱-۹ موتور سوئیچ رلوکتانسی خطی سه فاز با شار طولی

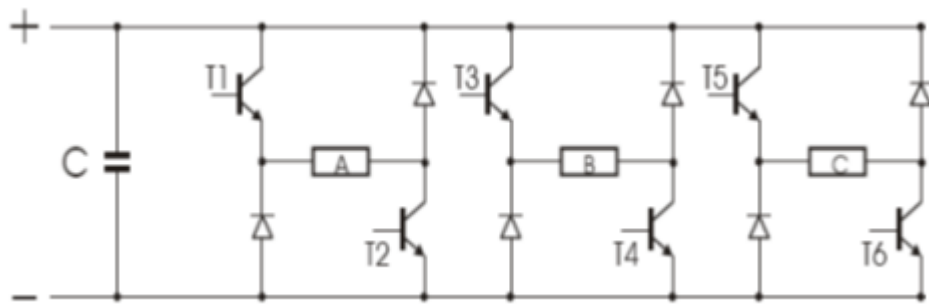


شکل ۱-۱۰ موتور سوئیچ رلوکتانسی خطی سه فاز با شار عرضی

در تعدادی از تحقیقات صورت گرفته موتور سوئیچ رلوکتانسی خطی بر اساس طراحی موتورهای سوئیچ رلوکتانسی دوار استخراج شده است و در نتیجه بر مبنای طراحی یک موتور دوار طراحی یک موتور خطی حاصل می شود. بر این اساس اگر RSRM اولیه به صورت $6/4$ (۶ قطب استاتور و ۴ قطب روتور) باشد در

نتیجه LSRM حاصل نیز به صورت $6/4$ خواهد بود [۵], [۴]. اما در تحقیقات دیگر LSRM مستقل از ساختار RSRM به صورت سه فاز و چند فاز طراحی می‌گردد [۶].

LSRM به صورت مستقیم با یک ولتاژ DC یا AC نمی‌توانند کار کنند، و برای عملکرد مناسب به کلیدزنی با تجهیزات الکترونیک قدرت نیاز دارند. توپولوژی‌های متفاوتی برای مبدل‌های موتورهای سوئیچ رلوکتانسی پیشنهاد شده است [۳], [۴]. شکل ۱-۱۱ مبدل قدرت برای درایو یک موتور سوئیچ رلوکتانسی سه فاز را نشان می‌دهد. هر فاز با اتصال واحد الکترونیک قدرت متصل به آن فاز به ولتاژ DC متصل می‌شود و با عبور جریان از هر فاز نیروی محرکه تولید می‌شود. برای مثال هنگامیکه ترانزیستورهای T_1 و T_2 روشن باشند فاز A جریاندار می‌شود و در هنگام خاموش بودن این دو ترانزیستور انرژی فاز A از طریق دو دیود متصل به این فاز به منبع تزریق می‌گردد.



شکل ۱-۱۱ مبدل یک موتورهای سوئیچ رلوکتانسی سه فاز

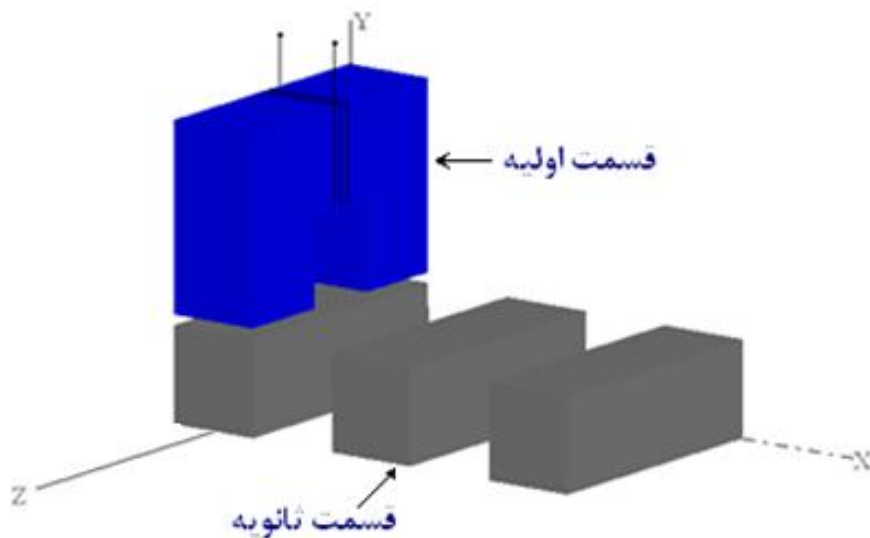
فصل دوم : ساختار موتور سوئیچ رلوکتانسی خطی بدون مغناطیس دائم و با وجود آن

۲-۱ ساختار موتور

ساختارهای متفاوتی را می توان برای موتورهای رلوکتانسی خطی در نظر گرفت. در این پایان نامه این موتور به موتور بدون مغناطیس دائم^۱ و همراه با مغناطیس دائم تقسیم بندی شده است . اساس کار این نوع موتورها به گونه ای است که با تحریک سیم پیچی های قسمت متحرک رلوکتانس فاصله ای هوایی کاهش یابد . به کار گیری مواد مغناطیس دائم در ساختار موتور باعث ایجاد ساختارهای جدیدی می گردد که در ادامه مورد بررسی قرار خواهد گرفت .

۲-۱-۱ موتور رلوکتانسی تک فاز بدون مغناطیس دائم

موتور با اولیه U شکل در شکل ۲-۱ نشان داده شده است ، و بر اساس این شکل موتور از دو قسمت اولیه و ثانویه تشکیل شده است . قسمت اولیه با سیم پیچی همان قسمت متحرک موتور را دارد.



شکل ۲-۱ موتور رلوکتانسی خطی بدون مغناطیس دائم

عبور جریان از سیم پیچی باعث ایجاد شار در هسته ای اولیه می گردد ، که این شار بر جهت حرکت موتور (محور X) عمود است. روابط حاکم بر ساختارهای مورد بررسی در این پایان نامه یکسان است و این ساختارها فقط بر نحوه عملکرد موتور تاثیر می گذارند. در آغاز روابط حاکم بر موتور رلوکتانسی خطی بدون مغناطیس

^۱ Permanent Magnet